

## О ВОЗМУЩЕНИЯХ СОБСТВЕННЫХ ЧАСТОТ ВАНТОВО-СТЕРЖНЕВЫХ СИСТЕМ, ПОДКРЕПЛЕННЫХ СВЯЗЯМИ

Бекшаев С.Я. (*Одесская государственная академия строительства и архитектуры, г. Одесса*)

Исследуется изменение собственных частот конструкций, содержащих упругие стержни и гибкие растянутые элементы, подкрепленные упругими связями, вызванное изменением расположения связей. Получены результаты, позволяющие в линейном приближении оценивать указанные изменения. Рассмотрены особые случаи, связанные с нарушениями непрерывности в распределении характеристик исследуемых конструкций.

Одним из способов управления характеристиками, в частности собственными частотами, деформируемых конструкций является наложение связей. При этом для достижения нужных результатов необходимо, чтобы как упругие характеристики, так и расположение связей удовлетворяли довольно жестким требованиям, что в силу различных обстоятельств не полностью выполняется на практике. Цель работы – выяснить влияние некоторых изменений параметров связей на собственные частоты подкрепленной конструкции.

1. Пусть положение системы определяется функцией  $y = y(M)$  ее точки  $M$  (в недеформированном состоянии  $y = 0$ ). Собственные частоты и формы являются решениями линейной задачи на собственные значения

$$Dy = \lambda \mu y, \quad (1)$$

где  $D$  – оператор жесткости конструкции (определяет силу, действующую на точку  $M$  со стороны других точек системы и упругих связей),  $\lambda \mu$  – оператор инерции, определяющий силу инерции, действующую на точку  $M$  при гармонических колебаниях с амплитудным смещением  $y$  и круговой частотой  $\sqrt{\lambda}$ . Представим оператор жесткости в виде суммы  $D = B + C$ , где  $B$  – жесткость основной конструкции (до усиления связями),  $C$  – жесткость, обусловленная связями. Связь – упругая конструкция, смещения точек  $M'$  которой равны  $Y(M')$ . Наложение связи означает, что некоторые из точек  $M$  и  $M'$

жестко скреплены и значения функций  $y$  и  $Y$  в этих точках равны. Работу нагрузки  $p = p(M)$ , приложенной к системе, при смещении  $y(M)$  обозначим  $(p, y)$ . Тогда условие связи можно выразить равенством  $(r, y) = (r, Y)$ , справедливым для любой функции  $r = r(M)$ , определенной в тех точках конструкции, для которых  $y(M) = Y(M')$ . Реакция связи – вообще говоря, распределенная нагрузка  $r = r(M)$ , определенная в тех же точках. При любых смещениях системы реакция, действующая на основную конструкцию со стороны связей, выражается через единичные «базисные» реакции

$$r = \sum R_k r_k,$$

где единичные реакции  $r_k$  – векторнозначные линейно независимые функции с той же областью определения, что и  $r$ ,  $R_k$  – скалярные значения реакций.

Упругие свойства связи определяются самосопряженным оператором  $C$  жесткости связи и характеризуются коэффициентами податливости  $\alpha_{ik}$ , определяемыми следующим образом. Пусть  $CY_k = r_k$  ( $Y_k$  – такое смещение связи, при котором она порождает базисную реакцию  $r_k$ ). Тогда  $\alpha_{ik} = (r_i, Y_k) = (r_k, Y_i) = \alpha_{ki}$  – работа базисной реакции  $r_i$  на перемещении связи, порождающем реакцию  $r_k$ . Смещение связи можно представить в виде

$$Y = \sum R_k Y_k + Y_0,$$

где  $Y_0$  – смещение, при котором связь не напряжена, т.е.  $CY_0 = 0$ , откуда в силу самосопряженности оператора  $C$   $(r_k, Y_0) = (CY_k, Y_0) = (CY_0, Y_k) = 0$ .

Из условия связи

$$(r_i, y) = (r_i, Y) = \sum R_k (r_i, Y_k) + (r_i, Y_0) = \sum \alpha_{ik} R_k.$$

Отсюда, используя обратную матрицу  $\|c_{ji}\| = \|\alpha_{ik}\|^{-1}$ , выразим реакции связей через смещение основной конструкции

$$R_j = (q_j, y) = \left( \sum c_{ji} r_i, y \right). \quad (2)$$

Оператор  $C$  определен на множестве смещений  $Y$  связи самой по себе даже при отсутствии основной конструкции. Соответствующий

оператор для усиленной системы определим равенством  $Cy = CY$ , где смещение  $Y$  связи вызвано смещением  $y$  основной конструкции. Это позволяет уравнение (1) переписать в виде

$$Dy = By + Cy = By + \sum (q_i, y)r_i = \lambda \mu y. \quad (3)$$

2. Для определения изменений собственных частот, вызванных малым изменением оператора  $D$ , заменим в (1)  $D$  на  $D + \varepsilon D'$ ,  $y$  – на  $y + \varepsilon y'$ ,  $\lambda$  – на  $\lambda + \varepsilon \lambda'$  и применим стандартную процедуру теории возмущений [1]. Если  $\lambda$  –  $r$ -кратная частота, которой отвечают формы  $y_k$ ,  $k = 1, 2, \dots, r$ , ортонормированные условием  $(\mu y_i, y_j) = \delta_{ij}$  ( $\delta_{ij}$  – символ Кронекера), придем к системе

$$\sum a_i (d_{ik} - \lambda' \delta_{ik}) = 0, \quad (4)$$

определенной  $r$  возмущений частоты и соответствующие предельные (при  $\varepsilon \rightarrow 0$ ) возмущенные формы  $y = a_1 y_1 + \dots + a_r y_r$ . Здесь  $d_{ik} = (D'y_i, y_k) = (D'y_k, y_i)$ . Условием существования нетривиального решения является вековое уравнение  $\det \| d_{ik} - \lambda' \delta_{ik} \| = 0$ , из которого находятся искомые возмущения  $\lambda'$ . Для  $r = 2$  это уравнение имеет вид

$$\begin{vmatrix} (D'y_1, y_1) - \lambda' & (D'y_1, y_2) \\ (D'y_2, y_1) & (D'y_2, y_2) - \lambda' \end{vmatrix} = 0. \quad (5)$$

Далее рассматриваются одномерные упругие конструкции, например вантово-стержневые системы, в которых положение точек определяется одной координатой  $x$ . Реакция распределена по участку  $\xi < x < \eta$ .

Рассмотрим возмущение оператора  $D$ , вызванное сдвигом связи вдоль оси  $x$  на  $\varepsilon$ .

$$Dy = By + Cy = By + \sum R_i r_i = By + \sum (q_i, y) r_i = By + \sum (q_i(x), y) r_i(x),$$

$$Dy + \Delta Dy = By + \sum (q_i(x - \varepsilon), y) r_i(x - \varepsilon),$$

$$\Delta Dy = \sum (q_i(x - \varepsilon), y) r_i(x - \varepsilon) - \sum (q_i(x), y) r_i(x).$$

$$(q(x), y) = \int_{\xi}^{\eta} q(x) y(x) dx, \quad (q(x - \varepsilon), y) = \int_{\xi + \varepsilon}^{\eta - \varepsilon} q(x - \varepsilon) y(x) dx = \int_{\xi}^{\eta} q(x) y(x + \varepsilon) dx,$$

Для любой пары непрерывных функций  $y$  и  $v$

$$\begin{aligned}
 (D'y, v) &= \lim_{\varepsilon \rightarrow 0} \frac{1}{\varepsilon} \left[ \sum_i \int_{\xi}^{\eta} q_i(x) y(x + \varepsilon) dx \int_{\xi}^{\eta} r_i(x) v(x + \varepsilon) dx - \right. \\
 &\quad \left. - \sum_i \int_{\xi}^{\eta} q_i(x) y(x) dx \int_{\xi}^{\eta} r_i(x) v(x) dx \right] = \\
 &= \lim_{\varepsilon \rightarrow 0} \sum_i \int_{\xi}^{\eta} q_i(x) \frac{y(x + \varepsilon) - y(x)}{\varepsilon} dx \int_{\xi}^{\eta} r_i(x) v(x + \varepsilon) dx + \\
 &\quad + \lim_{\varepsilon \rightarrow 0} \sum_i \int_{\xi}^{\eta} q_i(x) y(x) dx \int_{\xi}^{\eta} r_i(x) \frac{v(x + \varepsilon) - v(x)}{\varepsilon} dx .
 \end{aligned}$$

Здесь первая сумма в силу самосопряженности ( $c_{ik} = c_{ki}$ ) равна

$$\begin{aligned}
 &\sum_i \int_{\xi}^{\eta} \sum_k c_{ik} r_k(x) \frac{y(x + \varepsilon) - y(x)}{\varepsilon} dx \int_{\xi}^{\eta} r_i(x) v(x + \varepsilon) dx = \\
 &= \sum_k \int_{\xi}^{\eta} \sum_i c_{ki} r_i(x) v(x + \varepsilon) dx \int_{\xi}^{\eta} r_k(x) \frac{y(x + \varepsilon) - y(x)}{\varepsilon} dx = \\
 &= \sum_k \int_{\xi}^{\eta} q_k(x) v(x + \varepsilon) dx \int_{\xi}^{\eta} r_k(x) \frac{y(x + \varepsilon) - y(x)}{\varepsilon} dx .
 \end{aligned}$$

Если функции  $r_k(x)$  интегрируемы, а  $y(x)$  и  $v(x)$  имеют непрерывные производные, оправдан переход к пределу под знаком интеграла, откуда

$$\begin{aligned}
 (D'y, v) &= \sum_i \int_{\xi}^{\eta} q_k(x) v(x) dx \int_{\xi}^{\eta} r_k(x) y'(x) dx + \\
 &+ \sum_i \int_{\xi}^{\eta} q_i(x) y(x) dx \int_{\xi}^{\eta} r_i(x) v'(x) dx = \sum_i R_i(v)(r_i, y') + \sum_i R_i(y)(r_i, v'), \quad (6)
 \end{aligned}$$

где  $R_i(y)$  – величины реакций связей при смещении конструкции по форме  $y(x)$ , определяемые формулами (2).

3. Рассмотрим представляющий практический интерес случай симметричной конструкции,  $B(l-x)=B(x)$ , и одной симметричной связи, порождающей реакцию, распределенную по участку длины  $h$  по закону  $r(x)$ , причем  $r(\xi+h-(x-\xi))=r(x)$ , в точках с координатами  $x < \xi$  и  $x > \xi + h$   $r(x)=0$ . Собственные формы основной конструкции являются либо симметричными, далее С-формами,  $y(l-x)=y(x)$ , либо кососимметричными, далее К-формами,  $y(l-x)=-y(x)$ , собственные частоты будем предполагать простыми. Пусть в результате наложения связи, не нарушающего симметрию, одна из частот  $\lambda$  становится двукратной. Кратность возникла, благодаря тому, что одна из низших частот возросла до  $\lambda$ . Пусть  $v_1$  и  $v_2$  – ортонормированные собственные формы, соответствующие частоте  $\lambda$ . Возможны следующие случаи: а) и  $v_1$ , и  $v_2$  – С-формы; б)  $v_1$  – С-форма,  $v_2$  – К-форма; в) по крайней мере одна из форм не является ни С-, ни К-формой,  $v(x) \neq v(l-x)$ ,  $v(x) \neq -v(l-x)$ . Случай, когда и  $v_1$ , и  $v_2$  – К-формы, невозможен, т.к. тогда  $(r, v_1) = (r, v_2) = 0$ , откуда, с учетом (3), следует, что и  $v_1$ , и  $v_2$  являются формами конструкции до усиления, что противоречит предположению о простоте спектра до усиления. Случай в) на самом деле является случаем б), т.к. в этом случае существуют С- и К-формы, каковыми являются  $y_1(x) = (\mu y_1, y_1)^{-\frac{1}{2}} [v(x) + v(l-x)]$  и  $y_2(x) = (\mu y_2, y_2)^{-\frac{1}{2}} [v(x) - v(l-x)]$ . Кроме того, можно считать, что в любом из случаев одна из форм, например  $y_2$ , удовлетворяет условию  $(q, y_2) = \alpha^{-1} (r, y_2) = 0$  (откуда, с учетом (3), следует, что  $y_2$  является формой конструкции до усиления). Действительно, в случае б)  $(r, y_2) = 0$  как работа симметричной нагрузки на кососимметричном перемещении. В случае а), если  $(r, v_1) = b_1 \neq 0$  и  $(r, v_2) = b_2 \neq 0$ , перейдем к новым формам  $y_1(x) = (b_1^2 + b_2^2)^{-\frac{1}{2}} (b_1 v_1 + b_2 v_2)$  и  $y_2(x) = (b_1^2 + b_2^2)^{-\frac{1}{2}} (b_2 v_1 - b_1 v_2)$ ,

причем  $(r, y_2) = 0$ . Таким образом, всегда можно считать, что из двух ортонормированных форм  $y_1$  и  $y_2$ , соответствующих  $\lambda$ , форма  $y_2$  удовлетворяет условию  $(r, y_2) = 0$  и является либо С-, либо К-формой, а  $y_1$  – С-форма.

Пусть некоторое смещение связи от симметричного расположения (вызванное, например, неточностью сборки) приводит к «расщеплению» этой частоты,  $\lambda_1 = \lambda + \varepsilon\lambda'_1$ ,  $\lambda_2 = \lambda + \varepsilon\lambda'_2$ , где  $\lambda'_1$  и  $\lambda'_2$  являются корнями уравнения (5), которое в данном случае имеет вид

$$\begin{vmatrix} 2R_1(r, y'_1) - \lambda' & R_1(r, y'_2) + R_2(r, y'_1) \\ R_1(r, y'_2) + R_2(r, y'_1) & 2R_2(r, y'_2) - \lambda' \end{vmatrix} = 0, \quad (7)$$

где  $R_i = R(y_i)$  – реакция связи на смещение по форме  $y_i$ , согласно (2) равная  $R_i = (q, y_i) = \alpha^{-1}(r, y_i)$ . Отсюда сразу следует, что  $R_2 = 0$ . Кроме того, т.к.  $y_1$  симметрична, ее производная  $y'_1$  – кососимметрична,  $y(l-x) = y(x) \Rightarrow y'(l-x) = -y'(x)$ . Поэтому  $(r, y'_1) = 0$  как работа симметричной нагрузки на кососимметричном перемещении, и уравнение (7) имеет корни  $\lambda' = \pm R_1(r, y'_2)$ . Как видим, одна из совпадающих частот возрастает, а вторая убывает на одну и ту же величину  $\lambda'\varepsilon$ . Если форма  $y_2$  также симметрична, то  $\lambda' = 0$ , т.е. в линейном приближении частота  $\lambda$  не изменяется и остается 2-кратной. Заметим, что при расщеплении формы уже не будут произвольными линейными комбинациями  $y_1$  и  $y_2$ , а являются малыми возмущениями форм  $a_1 y_1 + a_2 y_2$ , где пары  $a_1$  и  $a_2$  определяются как собственные векторы задачи (4). В рассматриваемом случае возмущению  $\lambda' = +R_1(r, y'_2)$  отвечает форма  $y^+ = 2^{-\frac{1}{2}}(y_1 + y_2)$ , а  $\lambda' = -R_1(r, y'_2)$  – форма  $y^- = 2^{-\frac{1}{2}}(y_1 - y_2)$ , причем, как легко убедиться,  $y^+(l-x) = y^-(x)$ .

4. В качестве примера рассмотрим свободно опертую призматическую балку, в середине которой ставится точечная упругая опора, повышающая основную частоту до второй. В стандартных обозначениях квадрат второй частоты равен  $\lambda = 2^4 \lambda_1$ , где

$$\lambda_1 = \left( \frac{\pi}{l} \right)^4 \frac{EI}{\mu}, \quad \mu - \text{линейная плотность стержня},$$

а необходимая податливость введенной опоры

$$\text{равна } \alpha = \frac{0,0311}{EI} \left( \frac{l}{\pi} \right)^3.$$

На рис. 1 изображена соответствующая С-форма  $y_1$ .

К-форма  $y_2$  представляет собой синусоиду с одним узлом посередине. Сдвигая опору вправо на  $\varepsilon l$ , получим расщепление, которое

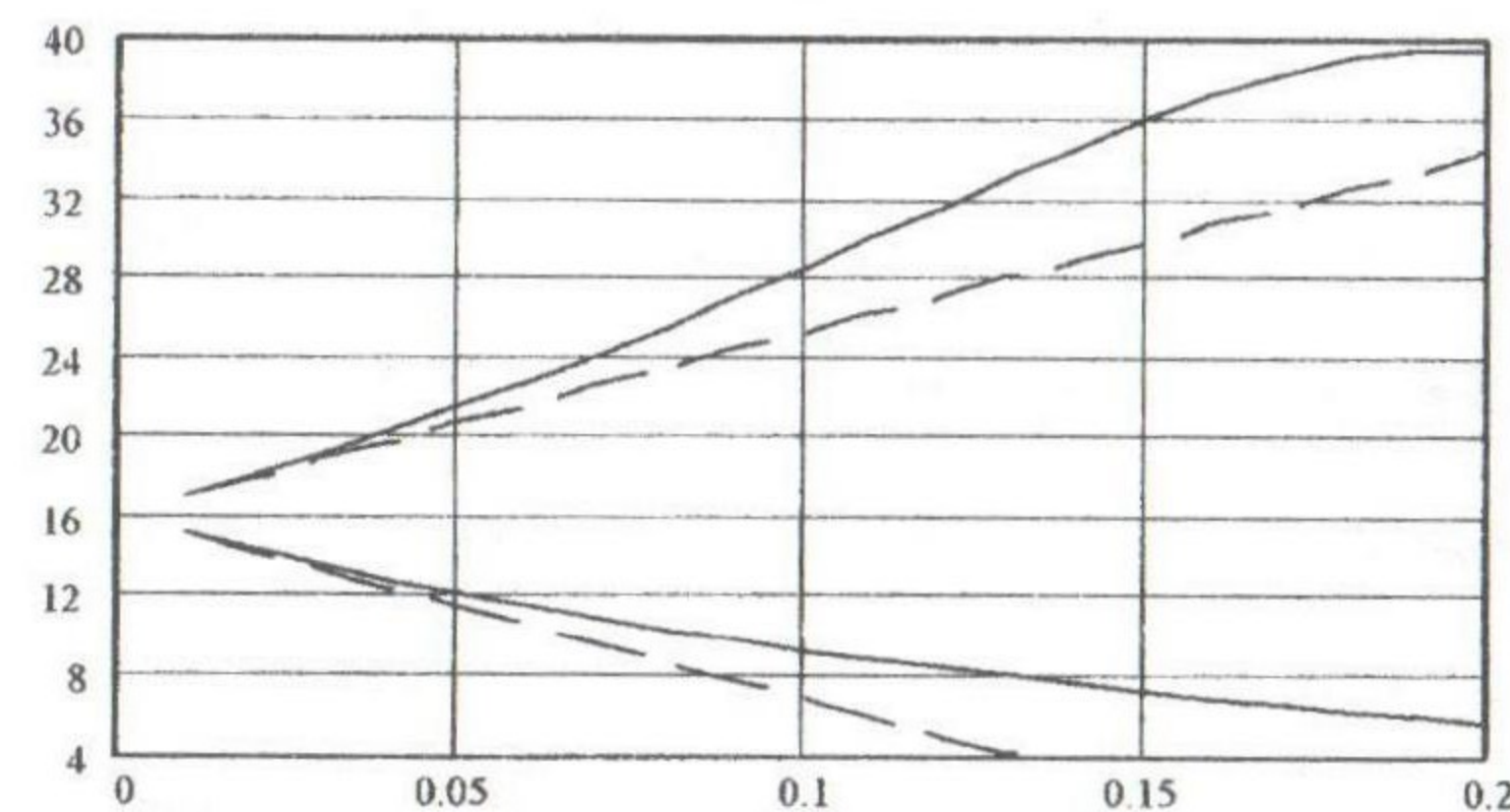


Рис. 1

илюстрируется рис. 2, где по горизонтали отложено  $\varepsilon$ , а по вертикали – приведенная частота  $\lambda/\lambda_1$ . Пунктирные прямые показывают линейное приближение, описанное выше. Соответствующие собственные формы и их приближения  $y^+$  и  $y^-$  для  $\varepsilon = 0,1$  показаны на рис. 3, где сплошная линия изображает точные формы, а пунктирная – приближенные. Левый рисунок отвечает меньшей из частот, а правый – большей. Опора помещена в точку с абсциссой 0,6.

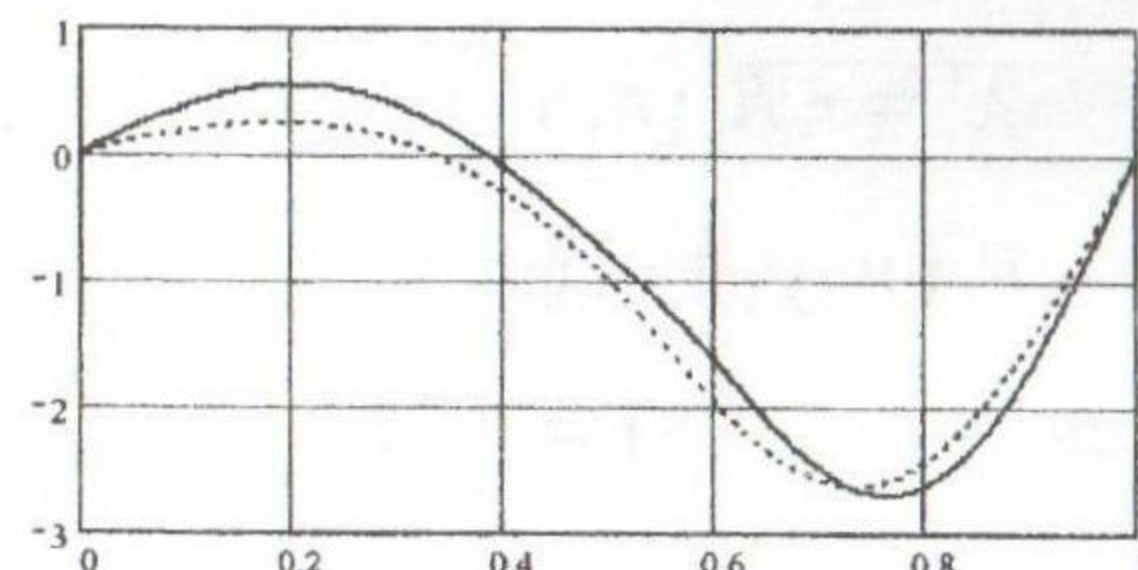
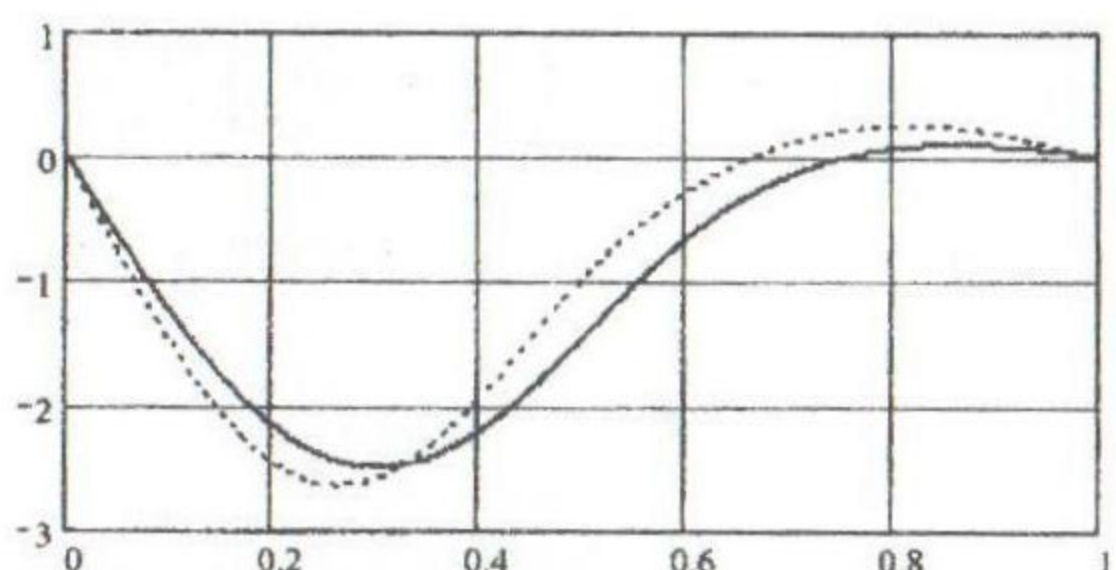


Рис. 3

5. Формулы  $\lambda' = R(r, y')$  в случае точечной опоры приобретают

наглядную форму  $\lambda' = R\theta$ , где  $\theta$  – угол поворота того сечения балки, в котором помещена опора (при соответствующей нормировке) [2]. Это выражение теряет смысл в случае опоры, подкрепляющей гибкие элементы конструкций, т.к. на опоре линии прогибов таких элементов имеют изломы и угол  $\theta$ , равный производной  $y'$ , в этих точках не определен. Возмущения простых частот в этих случаях можно найти из следующих соображений. Уравнение, определяющее формы и частоты колебаний струны [3], в соответствии с (3) имеет вид

$$-(Ty')' + Rr = \lambda \mu y, \quad (8)$$

где  $T$  – натяжение струны. Предположим вначале, что реакция распределена непрерывно, т.е. функция  $r(x)$  непрерывна и форма  $y(x)$  не имеет особенностей, в частности, изломов. Тогда  $y'(x)$  существует в точках приложения реакции, и существуют интегралы в (6), что с учетом (8) позволяет записать

$$R(r, y') = R \int_{\xi}^{\xi+h} ry' dx = \int_{\xi}^{\xi+h} (Ty')' y' dx + \int_{\xi}^{\xi+h} \lambda \mu y y' dx.$$

Интегрируя по частям, найдем

$$\int_{\xi}^{\xi+h} (Ty')' y' dx = \int_{\xi}^{\xi+h} T^{-1} (Ty')' Ty' dx = T \frac{y'^2}{2} \Big|_{\xi}^{\xi+h} + \int_{\xi}^{\xi+h} \frac{1}{2} (y')^2 T' dx, \quad (9)$$

$$\int_{\xi}^{\xi+h} \mu y y' dx = \int_{\xi}^{\xi+h} \mu y dy = \mu \frac{y^2}{2} \Big|_{\xi}^{\xi+h} - \int_{\xi}^{\xi+h} \mu' \frac{y^2}{2} dx. \quad (10)$$

Если натяжение  $T$  и плотность  $\mu$  изменяются по длине струны достаточно плавно, так что производные  $T'$  и  $\mu'$  существуют и ограничены, то в правых частях подынтегральные выражения ограничены и остаются ограниченными при  $h \rightarrow 0$ . Поэтому оба интеграла в правых частях (9) и (10) при  $h \rightarrow 0$  неограниченно убывают. То же справедливо для внеинтегрального члена формулы (10), т.к.  $y(x)$  непрерывна. Отсюда, рассматривая точечную опору как предельный случай распределенной

связи при  $h \rightarrow 0$ ,  $\int_{\xi}^{\xi+h} r(x) dx = 1$ , найдем

$$\lim_{h \rightarrow 0} R(r, y') = \lim_{h \rightarrow 0} T \frac{y'^2}{2} \Big|_{\xi}^{\xi+h} = T \lim_{h \rightarrow 0} \frac{y'^2(\xi+h) - y'^2(\xi)}{2} = \\ = T(\theta^+ - \theta^-) \cdot \frac{\theta^+ + \theta^-}{2},$$

где  $\theta^-$  и  $\theta^+$  – углы наклона струны соответственно слева и справа от опоры. Интегрируя (8) от  $\xi$  до  $\xi+h$  и переходя к пределу при  $h \rightarrow 0$ , найдем, что  $T(\theta^+ - \theta^-) = R$ , откуда получаем формулу для производной от простой частоты подпертой струны по координате опоры

$$\lambda' = R(\theta^+ + \theta^-). \quad (11)$$

6. При ее выводе предполагалась ограниченность производных  $T'$  и  $\mu'$ , которая не имеет места, например, в точках, несущих сосредоточенные массы. Если при сдвиге на  $\varepsilon$  опора проходит через точку, в которой находится сосредоточенная масса  $m$  (см. рис. 4), форма изменяется на величину  $o(1)$ , неограниченно убывающую вместе с  $\varepsilon$ , углы  $\theta_1$  и  $\theta_3$  слева и справа от изломов также меняются непрерывно, а угол  $\theta_2$  между опорой и грузом получает конечное изменение  $\theta'_2 - \theta_2$ .

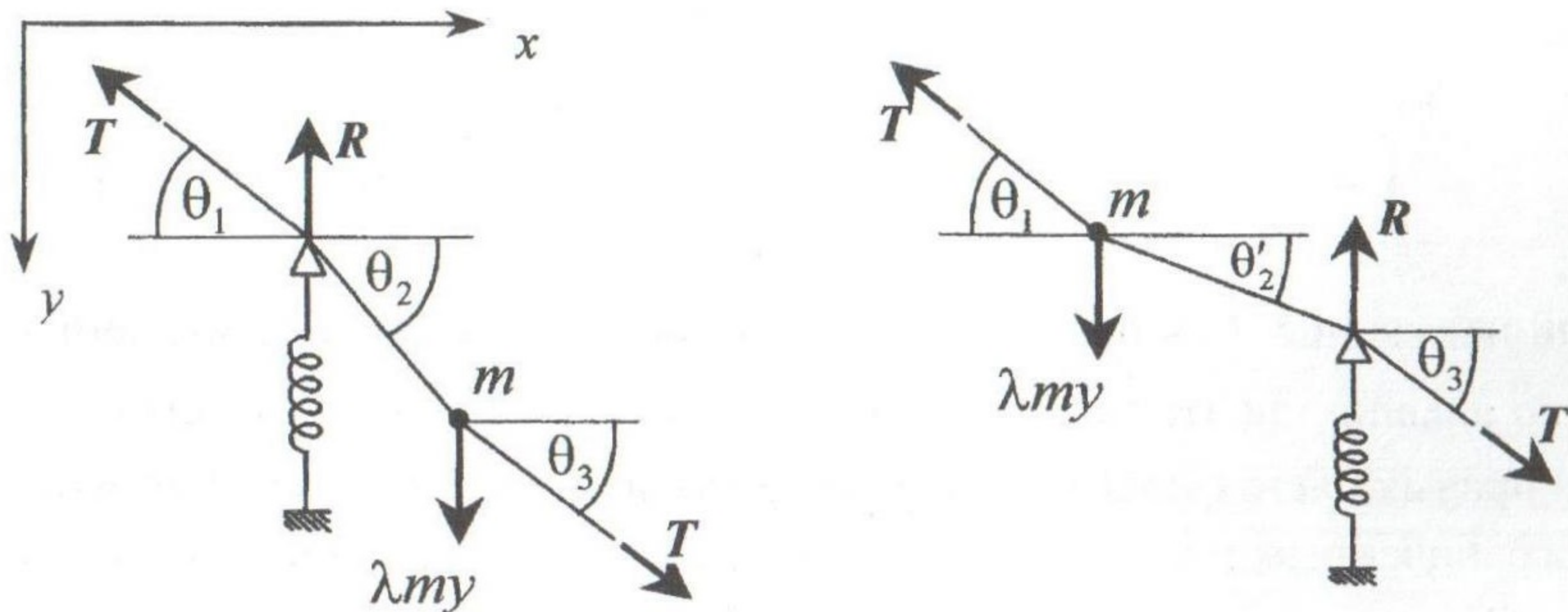


Рис. 4

Как видно из рисунка, с точностью до малых порядка  $o(1)$  относительно  $\varepsilon$ ,

$$T(\theta_3 - \theta_2) = -\lambda my, \quad T(\theta'_2 - \theta_1) = -\lambda my.$$

Эти соотношения, выражающие амплитудное равновесие точечного

груса, могут быть также получены интегрированием (8) по малому промежутку, содержащему этот груз.

$$\text{Отсюда} \quad \text{находим} \quad \theta_2 - \theta_3 = \theta_2 + \theta_1 - (\theta_3 + \theta_1) = \frac{\lambda my}{T},$$

$\theta'_2 - \theta_1 = \theta'_2 + \theta_3 - (\theta_3 + \theta_1) = \frac{-\lambda my}{T}$ , что позволяет найти пределы при приближении опоры к особой точке

$$\lim_{\text{слева}} (\theta_2 + \theta_1) = (\theta_3 + \theta_1) + \frac{\lambda my}{T}, \quad \lim_{\text{справа}} (\theta'_2 + \theta_3) = (\theta_3 + \theta_1) - \frac{\lambda my}{T}. \quad (12)$$

Если опора проходит через точку, в которой натяжение струны терпит разрыв  $T^+ - T^-$ , то, как видно из рис. 5, с точностью до слагаемых

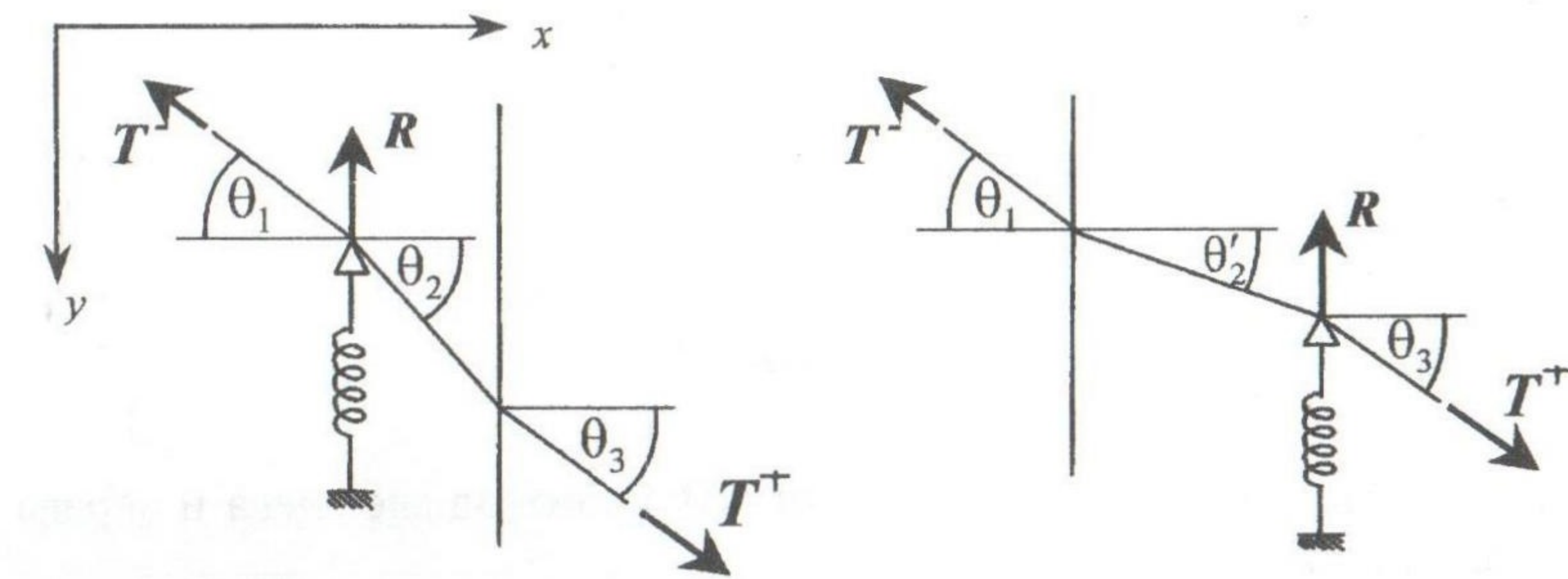


Рис. 5

$o(1)$  относительно  $\varepsilon$   $T^+ \theta_3 = T^- \theta_2$ ,  $T^+ \theta'_2 = T^- \theta_1$ , откуда  $T^- (\theta_1 + \theta_2) = T^- \theta_1 + T^+ \theta_3$ ,  $T^+ (\theta_3 + \theta'_2) = T^- \theta_1 + T^+ \theta_3$ , и соответствующие пределы равны

$$\lim_{\text{слева}} (\theta_2 + \theta_1) = \frac{(T^- \theta_1 + T^+ \theta_3)}{T^-}, \quad \lim_{\text{справа}} (\theta'_2 + \theta_3) = \frac{(T^- \theta_1 + T^+ \theta_3)}{T^+}. \quad (13)$$

Наконец, если в точке присутствуют обе особенности, то, разведя их на малое расстояние, как показывает рис. 6, при вычислении левого предела можно принять во внимание только точечный груз, а при вычислении правого предела – только скачок натяжения и воспользоваться первым из равенств (12), заменив в нем, в соответствии с рис. 6,  $\theta_3$  на  $\theta'$ ,  $T$  на  $T^-$  и учитя, что,  $T^+ \theta_3 = T^- \theta'$ ,

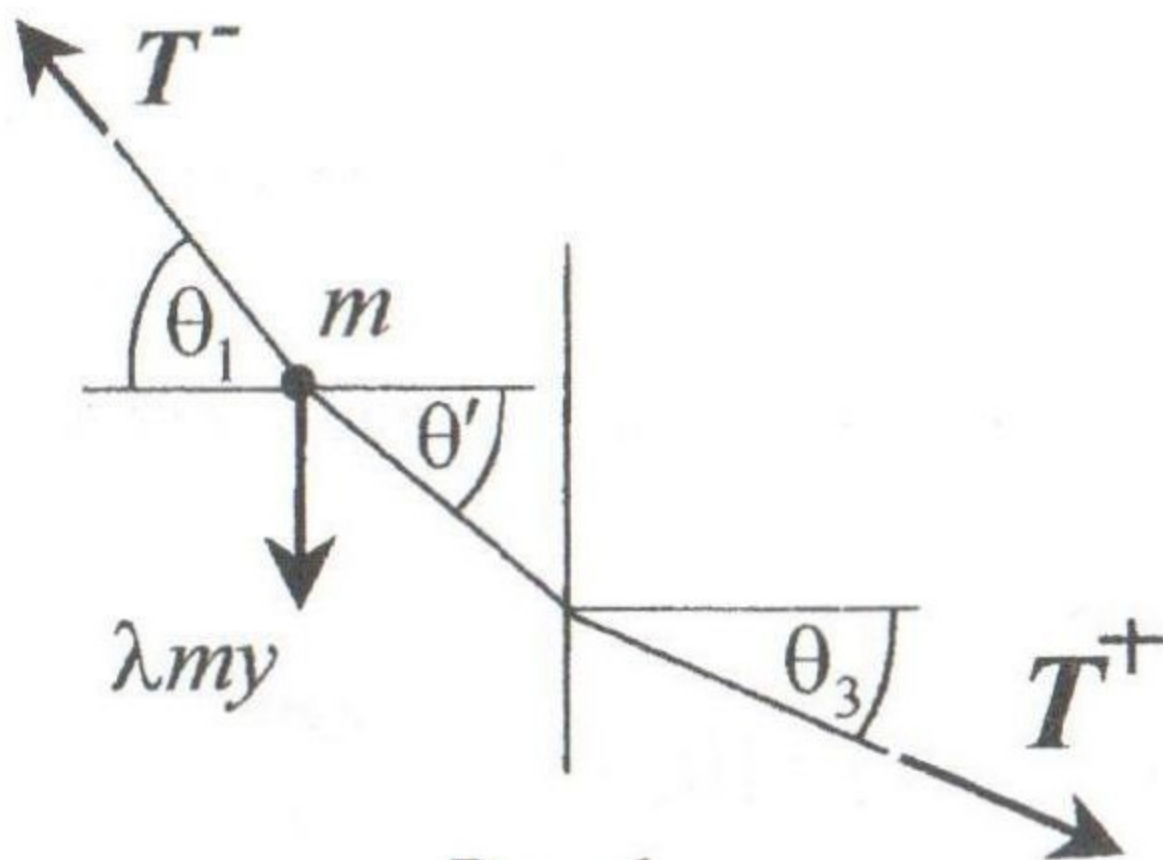


Рис. 6

$$\lim_{\text{слева}} (\theta_2 + \theta_1) = (\theta' + \theta_1) + \frac{\lambda my}{T^-} = \\ = \frac{(T^- \theta_1 + T^+ \theta_3)}{T^-} + \frac{\lambda my}{T^-}, \quad (14)$$

и вторым из равенств (12), заменив в нем  $\theta_1$  на  $\theta'$  и учтя (см. рис. 6), что  $T^- \theta_1 = T^- \theta' + \lambda my$ ,

$$\lim_{\text{справа}} (\theta'_2 + \theta_3) = \frac{(T^- \theta' + T^+ \theta_3)}{T^+} = \\ = \frac{(T^- \theta_1 - \lambda my + T^+ \theta_3)}{T^+} = \frac{(T^- \theta_1 + T^+ \theta_3)}{T^+} - \frac{\lambda my}{T^+}. \quad (15)$$

В итоге в обозначениях ф-лы (11) производная от квадрата частоты в общем случае равна

$$\lambda'_{\text{слева}} = R \left[ \frac{(T^- \theta^- + T^+ \theta^+)}{T^-} + \frac{\lambda my}{T^-} \right], \quad \lambda'_{\text{справа}} = R \left[ \frac{(T^- \theta^- + T^+ \theta^+)}{T^+} - \frac{\lambda my}{T^+} \right]. \quad (17)$$

Легко видеть, что при  $T^+ = T^-$  и  $m = 0$  производные слева и справа совпадают и равны (11).

7. Из общих соображений о влиянии наложения связей на частоты известно [3], что уменьшение длины струны приводит, вообще говоря,

к увеличению ее частот. Аналогичный вывод для стержня справедлив не всегда. По-видимому, впервые он был установлен Рэлеем [5, с.311] для стержня, жестко опертого по концам при отсутствии дополнительных промежуточных опор. Используя результаты, полученные в настоящей работе, можно установить увеличение собственных частот стержня, свободно опертого по концам на жесткие

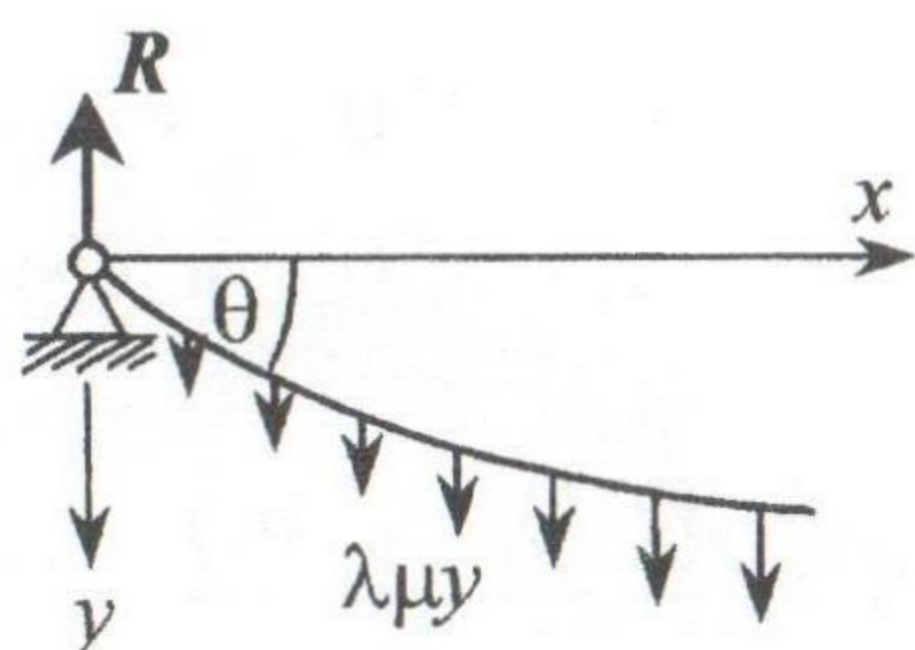


Рис. 7

опоры и имеющего сколько угодно внутренних неподвижных шарнирных опор, даже совмещенных с упругими (но не абсолютно жесткими) защемлениями.

Пусть левый конец стержня шарнирно оперт на неподвижную опору (см. рис. 7), и кроме нее могут быть только неподвижные опоры, не

совмещенные с жесткими заделками. При этом  $\Theta = y'(0) \neq 0$ . Действительно, пусть  $\Theta = 0$ , а  $y(x)$  не является тождественным нулем в некоторой окрестности левой опоры и  $a$  – первый слева нуль функции  $y(x)$  (не считая левой опоры). Пусть  $y(x) > 0$  при  $0 < x < a$ . Если  $R \leq 0$ , изгибающий момент в любом сечении  $x \leq a$  равен

$$M(x) = Rx - \lambda \int_0^x \mu y(x-s) ds < 0, \quad \text{откуда} \quad \text{следует, что}$$

$$y''(x) = -M(x)/EI > 0, \quad \text{т.е. } y'(x) \text{ возрастает, } y'(x) > 0 \Rightarrow \\ \Rightarrow y(x) > 0 \Rightarrow y(a) > 0. \quad \text{Если } R > 0, \text{ в некоторой окрестности лево}$$

$$\text{вой опоры } M(x) = Rx - \lambda \int_0^x \mu y(x-s) ds > 0 \Rightarrow y''(x) = -M(x)/EI < 0$$

$\Rightarrow y(x) < 0$ . Противоречие доказывает, что либо  $\Theta \neq 0$ , либо в некоторой окрестности левой опоры  $y(x) \equiv 0$ . В последнем случае, обозначив правую границу окрестности через  $a_0$ , имеем  $y(a_0) = 0$ ,  $y'(a_0) = 0$ ,  $M(a_0) = 0$  (т.к. нет жестких заделок) и, повторяя предыдущие рассуждения, устанавливаем существование окрестности точки  $a_0$ , в которой  $y(x) \equiv 0$ , что противоречит определению  $a_0$ . Таким образом, утверждение  $\Theta = y'(0) \neq 0$  установлено. Заметим, что из него вытекает известная теорема [4] о простоте спектра шарнирно опертого стержня при любом количестве внутренних шарнирно неподвижных опор. В самом деле, из двух форм, которым отвечают углы на левой опоре  $\Theta_1 \neq 0$  и  $\Theta_2 \neq 0$ , можно было бы составить линейную комбинацию, для которой  $\Theta = 0$ , что, как мы убедились, невозможно. Пусть  $\Theta = y'(0) > 0$ . Покажем, что в этих условиях  $R > 0$ , т.е. реакция опоры направлена вверх. В противном случае вся кривая прогибов должна лежать ниже оси  $x$ . Действительно, пусть  $a$  – первый слева нуль функции  $y(x)$  (не считая левой опоры). Тогда  $y(x) > 0$  при  $0 < x < a$  и изгибающий момент в любом сечении  $x \leq a$  равен

$$M(x) = Rx - \lambda \int_0^x \mu y(x-s) ds < 0, \text{ откуда следует, что } y''(x) > 0$$

$\Rightarrow y'(x) > 0 \Rightarrow y > \theta x \Rightarrow y(a) > \theta a \neq 0$ . Противоречие доказывает, что для всех форм, кроме, возможно, одной,  $R > 0$ . Эта особая форма получается, если нет точки  $a \neq 0$ , в которой  $y(a) = 0$ , т.е. левая опора единственная. Очевидно для нее  $\lambda = 0$ ,  $y = \theta x$ . Единственность особой формы гарантируется свойством ортогональности

$$\int_0^l \mu y_i(x) y_k(x) dx = 0$$

собственных форм. Уменьшение длины стержня можно рассмотреть как сдвиг левой опоры вправо и удаление массы

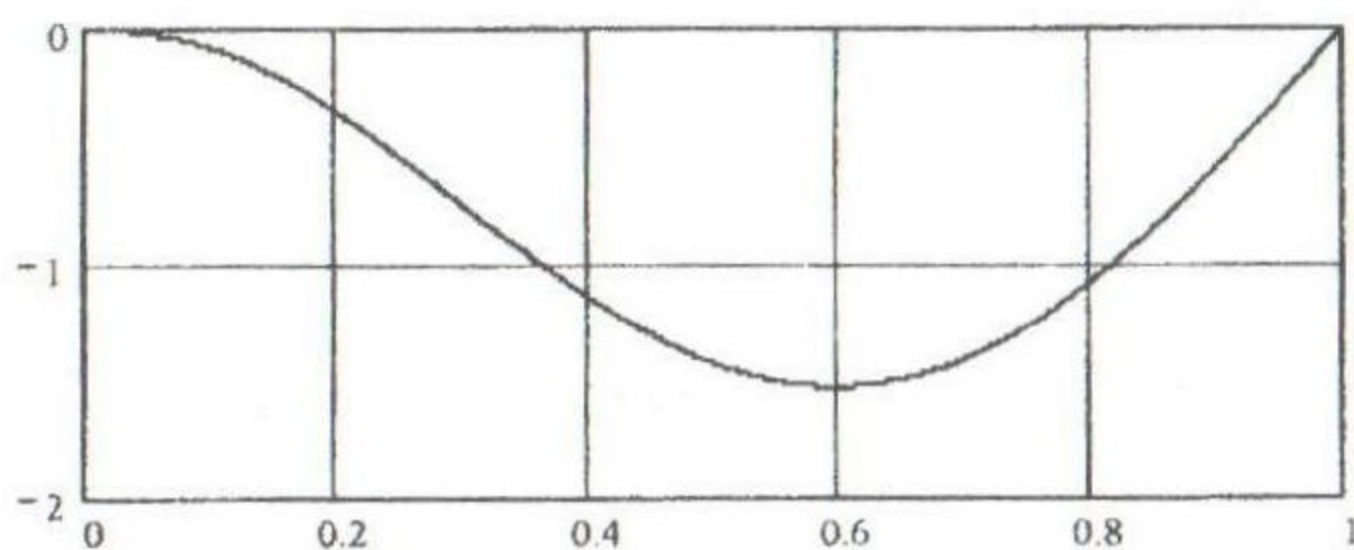


Рис. 8

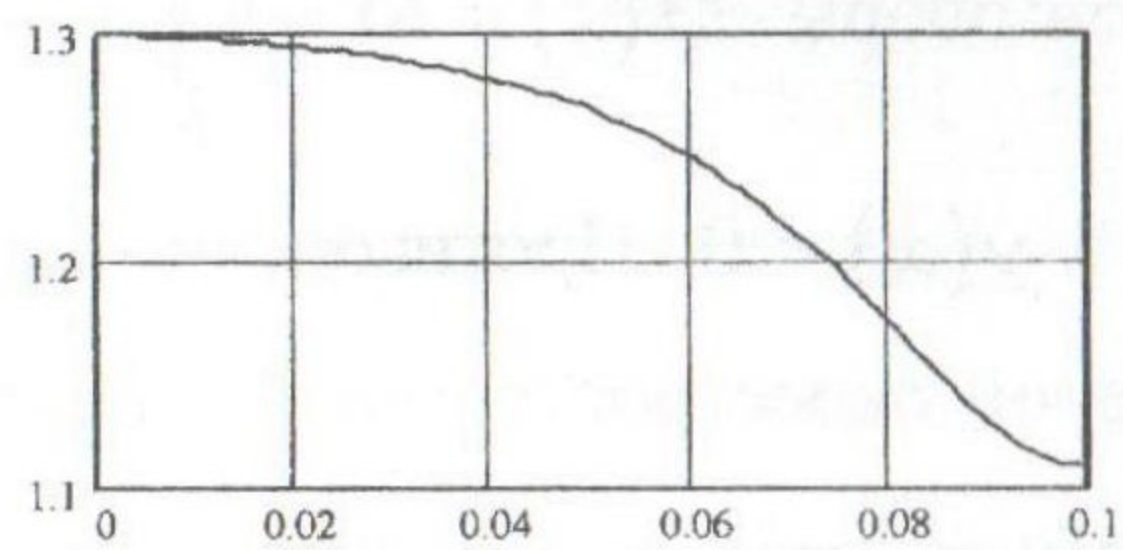


Рис. 9

образовавшегося слева от опоры консольного участка. Но, как видно из проведенных рассуждений, для левой опоры  $\lambda' = R\theta > 0$ , т.е. ее сдвиг приводит к росту частоты. Удаление массы может ее только увеличить [3,5], откуда и следует сформулированный вывод для всех частот, кроме нулевой, которая остается неизменной. Если не требовать абсолютной жесткости промежуточных опор, можно, укорачивая стержень, добиться не роста, а уменьшения частоты. Действительно, предыдущие рассуждения показывают, что при сдвиге опоры частота будет уменьшаться, если на левой опоре  $R < 0$ . Тогда в некоторой ее окрестности  $M(x) < 0$ , т.е. кривая прогибов обращена выпуклостью вверх. Удаление образовавшегося консольного участка даст обратный эффект. Структурный результат зависит, вообще говоря, от распределения массы по стержню. На рис. 8 показана форма колебаний призматического стержня, подкрепленного упругой опорой в точке с абсциссой 0,1. Податливость опоры  $\alpha = (0,0132/EI)(l/\pi)^3$  обеспечивает частоту основного тона  $\lambda = 1,3^4 \lambda_1$ . Рис. 9 показывает, как изменяется основная частота

при уменьшении длины стержня за счет сдвига левой опоры вправо. Здесь по вертикали отложен параметр  $v$ ,  $\lambda = v^4 \lambda_1$ , по горизонтали – сокращение длины стержня в долях его длины.

**Заключение.** В результате проведенного исследования получено уравнение (3), определяющее собственные частоты и формы колебаний упругой системы, подкрепленной связями, порождающими распределенные реакции из линейной оболочки заданного набора базисных реакций. В случае континуальных систем (струны, балки, пластиинки и т. п.) уравнение (3) является интегро-дифференциальным, т.к. в выражении  $(q, y)$  форма  $y$  входит, вообще говоря, под знаком интеграла. Применение к этому уравнению метода теории возмущений позволило для одномерных связей получить выражение (6) для элементов матрицы, определяющей в линейном приближении возмущения собственных частот, вызванные изменением места расположения подкрепляющей конструкции (связи). Если связь является точечной упругой опорой, ее сдвиг на расстояние  $\varepsilon$  по оси  $x$ , как видно из уравнения (7), изменяет простую частоту упругой балки на  $\lambda' = 2R\theta\varepsilon$  ([2]). Установленная в работе формула (11) обобщает этот результат на струны, для которых угол поворота  $\theta$  в подпертом сечении не определен. Уравнения (12), (13) и (17) дают значения односторонних производных частоты струны в тех случаях, когда опора совпадает с сосредоточенным грузом или с тем сечением струны, в котором ее натяжение терпит разрыв. Полученные в работе результаты применены к изучению влияния изменения длины стержня на его собственные частоты, дополняющему и в некоторых отношениях уточняющему чисто качественные рассуждения Рэлея ([5]). В частности, обнаружено, что уменьшение длины стержня, имеющего внутренние упругие опоры, может привести к уменьшению его собственных частот.

### Литература

1. Т.Като. Теория возмущений линейных операторов. М., «Мир», 1972, 740 с.
2. С.Я.Бекшаев, Л.В.Кошкин, Я.Л.Нудельман. К вопросу об оптимальном расположении масс и опор вибрирующего стержня. – «Судостроение и судоремонт». Вып.VII. 1976, с. 64 – 67.
3. Р.Курант и Д.Гильберт. Методы математической физики, т.1. – М.-Л., ГТТИ, 1951, 476 с.
4. Ф.Р.Гантмахер и М.Г.Крейн. Осцилляционные матрицы и ядра и малые колебания механических систем. М.-Л., ГТТИ, 1950, 360 с.
5. Рэлей. Теория звука. Т. 1. – М., ГИТТЛ, 1955, 504 с.